



## ژئوشیمی، سنگ‌نگاری و خاستگاه زمین‌ساختی سنگ‌های آتشفسانی ائوسن دره‌ی زارچوئیه (جنوب شرقی بردسیر - کرمان)

حسین فاتحی<sup>\*</sup>، عباس مرادیان، حمید احمدی‌پور

گروه زمین‌شناسی دانشگاه شهید باهنر کرمان، ایران

(دریافت مقاله: ۹۰/۱/۲۹، نسخه نهایی: ۹۰/۶/۲۸)

**چکیده:** در جنوب شهرستان بردسیر (استان کرمان) رخنمون‌های بسیاری از سنگ‌های آتشفسانی وابسته به کمربند ارومیه - دختر وجود دارند که بیشتر شامل آندزیت، آندزیت بازالتی و بازالت به سن ائوسن بوده و به صورت متناوب با سنگ‌های پیروکلاستیک قرار گرفته‌اند. شواهد سنگ‌نگاری (منطقه‌بندی، بافت غربالی و گردشگی سطح بلور در پلازیوکلаз و پیروکسن) عدم تعادل اغلب درشت بلورها را با ماگمای میزان نشان می‌دهند. بررسی‌های زمین‌شیمیایی نشان می‌دهد که گدازه‌های منطقه مورد بررسی در قلمرو آهکی-قلیایی قرار می‌گیرند. غنی‌شدگی از LREE در مقایسه با HREE و بالا بودن مقدار عناصر ناسازگار LILE نسبت به HFS و نیز بی-هنجری منفی شاخص Nb, Ti و P در گدازه‌های منطقه از نشانه‌های سنگ‌های وابسته به فرورانش بوده و حاکی از این است که ماگماهای این گدازه‌ها احتمالاً از ذوب بخشی گوه گوشته‌ای که خود در اثر تماس با شاره‌ها مشتق شده از پوسته‌ی اقیانوسی فرورونده، از عناصر کمیاب غنی شده، ریشه گرفته‌اند. بررسی کانی‌شناسی، بافت و شیمی سنگ‌ها در ردیفهای منظم گدازه و پیروکلاستیک منطقه؛ حاکی از وجود تغییرات منظم شیمیایی ماگماها در مخازن ماگماهای کم‌عمق و تأثیر این تغییرات بر کانی‌شناسی و بافت گدازه‌هاست.

**واژه‌های کلیدی:** دره زارچوئیه؛ بازالت؛ ژئوشیمی؛ ذوب بخشی و قوس آتشفسانی.

مقدمه  
۳۷° ۵۶° تا ۴۴° شرقی و عرض‌های جغرافیایی ۳۳° تا ۴۶° شمالی قرار گرفته است. در این پژوهش سعی شده تا ضمن بررسی ویژگی‌های صحرایی و میکروسکوپی سنگ‌ها، ژئوشیمی آنها نیز بررسی و جایگاه زمین‌ساختی آنها مورد بررسی قرار گیرد. در ضمن کوشیدیم تا بازتاب تغییرات شیمیایی موجود در گدازه‌ها که از مخازن ماگماهای کم‌عمق در آنها به ارت رسیده است روی ساخت، بافت و کانی‌شناسی دنباله‌های گدازه‌ای بررسی شود.

### روش بررسی

به منظور بررسی سنگ‌های آتشفسانی مورد نظر، بررسی‌های زمین‌شناسی صحرایی و نمونه‌برداری از واحدهای آتشفسانی یاد شده صورت گرفت و پس از تهیه مقاطع نازک، بررسی سنگ-

باشک گستردۀ ترین فعالیت‌های آتشفسانی سرزمین ایران در زمان ائوسن رخ داده و آثار این تکاپوها را می‌توان در تمام بخش‌های ایران جز زاگرس و کوه داغ مشاهده کرد [۱]. سنگ‌های آتشفسانی ائوسن دارای طیف گستردۀ ترکیبی از اشباع تا ابر اشباع بوده و بیشتر به سری‌های ماگمایی آهکی-قلیایی تا شوشوونیتی وابسته‌اند. در این میان به سنگ‌های موجود در کمربند ارومیه - دختر و البرز توجه بیشتری شده است و توسط افراد بسیار زیادی مورد بررسی‌های سنجشناصی قرار گرفته‌اند [۱].

منطقه‌ی مورد بررسی در ۴۵ کیلومتری جنوب شرقی بردسیر، بخشی از کمربند ماگمایی ارومیه-دختر [۲] به شمار می‌آید و از نظر مختصات جغرافیایی بین طول‌های جغرافیایی

\* نویسنده مسئول، تلفن: ۰۹۳۸۰۸۸۲۰۳۸، نامبر: ۰۳۴۱ ۲۲۲۰۳۵، پست الکترونیکی: hoseinfatehi61@gmail.com

فرعی و کمیاب به روش IMS 95A مورد آنالیز قرار گرفتند  
(جدول ۱).

شناختی و کانی شناسی آنها انجام شد و تعداد ۱۴ نمونه از گدازه های منطقه برای آنالیز شیمیایی به آزمایشگاه SGS کانادا ارسال شدند و عناصر اصلی به روش ICP 95A و عناصر

**جدول ۱** نتایج آنالیز های شیمیایی گدازه های دره زارچوئیه (جنوب شرق بردسیر).

شماره نمونه	ZF-A5	ZF-A11	ZF-A2-2	ZF-A31	ZF-B8	ZF-C12	ZF-E1	ZF-E13
نام سنگ	بازالت	بازلت	بازلت	بازلت	بازلت	آندزیت	بازلت	بازلت
SiO <sub>2</sub> %	۴۹,۳	۵۲,۱	۴۹,۷	۵۳,۹	۵۱,۴	۵۵,۹	۴۵,۳	۴۹,۴
Al <sub>2</sub> O <sub>3</sub>	۱۵,۸	۱۵,۵	۱۸	۲۰,۲	۱۹,۵	۱۵	۱۵,۸	۲۰,۳
Fe <sub>2</sub> O <sub>3</sub> (t)	۱۰,۴	۱۲,۲	۹,۸۳	۷,۱۸	۱۰,۵	۹,۴۶	۲,۱۱	۹,۵۵
CaO	۹,۱۴	۸,۳۸	۱۰	۷,۵۳	۹,۳۷	۶,۲	۱۱,۱	۹,۱۳
K <sub>2</sub> O	۰,۹۹	۰,۷۲	۰,۳۲	۲,۱	۰,۳	۰,۵۳	۰,۵۹	۰,۳
MgO	۲,۶۳	۳,۹۱	۴,۸۳	۲,۰۱	۲,۸۱	۱,۷۳	۲,۶۲	۴,۵۶
MnO	۰,۲۱	۰,۲۲	۰,۱۶	۰,۱۳	۰,۱۶	۰,۱۳	۰,۲۶	۰,۱۸
Na <sub>2</sub> O	۲,۵	۲,۳	۳,۱	۲,۲	۲,۹	۳,۸	۳,۵	۲,۶
P <sub>2</sub> O <sub>5</sub>	۰,۲۴	۰,۳۲	۰,۲۶	۰,۲۷	۰,۳	۰,۳۴	۰,۳۷	۰,۱۹
Cr <sub>2</sub> O <sub>3</sub>	۰,۰۰۵	۰,۰۰۵	۰,۰۲	۰,۰۰۵	۰,۰۰۵	۰,۰۰۵	۰,۰۰۵	۰,۰۰۵
TiO <sub>2</sub>	۱,۱۹	۱,۵۷	۱,۱۴	۰,۷۴	۱,۳۸	۱,۲۱	۱,۴۵	۱,۰۳
LOI	۷,۷۷	۲,۸	۲,۶۳	۰,۸۲	۶,۳	۲,۷۲	۹,۰۷	۲,۷۴
Sum	۱۰۰,۸	۱۰۱,۶	۱۰۱	۹۹,۴	۱۰۲,۳	۹۸	۱۰۱,۴	۱۰۰,۹
Ba ppm	۱۲۰	۱۸۰	۱۳۰	۳۳۰	۱۸۰	۱۹۰	۱۲۰	۱۹۰
Sr	۳۸۰	۴۵۰	۵۷۰	۶۸۰	۵۸۰	۳۵۰	۴۱۰	۵۴۰
Zn	۱۰,۵	۱۰,۱	۱۰,۶	۶,۸	۸,۰	۸,۶	۲۱,۴	۱۰,۷
Ag	۰,۵	۰,۵	۰,۵	۰,۵	۰,۵	۰,۵	۰,۵	۰,۵
Co	۲۲,۷	۲۹,۷	۲۹,۶	۱۱,۵	۲۳	۱۹,۲	۲۹,۴	۲۴,۴
Cs	۱,۳	۴,۹	۰,۹	۰,۵	۰,۳	۰,۶	۱,۳	۱,۱
Ga	۱۵	۱۶	۱۵	۱۷	۱۸	۱۶	۱۷	۱۹
Ni	۲,۵	۱۳	۳۷	۶	۹	۲,۵	۱۵	۱۰
Mo	۱	۱	۱	۱	۱	۳	۱	۱
Sn	۰,۵	۱	۰,۵	۰,۵	۱	۲	۱	۰,۵
Ta	۰,۲۵	۰,۲۵	۰,۲۵	۰,۲۵	۰,۲۵	۰,۲۵	۰,۲۵	۰,۲۵
Th	۱,۶	۲,۱	۲,۱	۵,۶	۲,۸	۴,۸	۲,۹	۲,۵
Tl	۰,۲۵	۰,۲۵	۰,۲۵	۰,۲۵	۰,۲۵	۰,۲۵	۰,۲۵	۰,۲۵
Cu	۱۷	۶۸	۱۴۳	۳۴	۹۴	۱۵۲	۲۴	۹۶
U	۰,۴۷	۰,۸۲	۰,۹	۱,۳۳	۰,۸۳	۱,۳۳	۱,۱۲	۰,۵
V	۲۶۳	۳۷۳	۲۶۱	۱۱۲	۳۰۱	۱۸۴	۳۳۹	۲۳۶
W	۰,۵	۰,۵	۱	۱	۱	۲	۰,۵	۱۲
Ga	۱۵	۱۶	۱۵	۱۷	۱۸	۱۶	۱۷	۱۹
Y	۲۲,۲	۲۲	۲۲,۲	۱۹	۲۶,۷	۳۹,۷	۳۰,۷	۱۹,۵
Hf	۲	۳	۳	۳	۵	۴	۲	
Rb	۲۷,۸	۱۶,۶	۵,۷	۵۲,۳	۴,۲	۱۲,۸	۱۵,۲	۴,۶
Zr	۷۴,۲	۱۲۶	۱۰,۳	۹۲	۱۰,۳	۱۹۹	۱۲۹	۶۷
La	۱۲,۲	۱۶,۲	۱,۱۴	۲۲,۷	۱۵,۸	۲۰	۱۷,۹	۱۱,۴
Ce	۲۵,۵	۳۴,۵	۲۹,۲	۴۴,۸	۳۱	۴۳	۲۸,۷	۲۲,۸
Pr	۲,۷۱	۴,۹۲	۲,۷۷	۵,۴۶	۴,۴۴	۵,۹۷	۵,۲۱	۲,۹۶
Nd	۱۷,۱	۲۲	۱۷,۲	۲۱	۱۹	۲۷,۳	۲۳,۴	۱۳,۷
Sm	۴,۲	۵,۵	۴,۳	۴,۴	۵	۶,۷	۵,۶	۳
Eu	۱,۴۷	۱,۵۳	۱,۱۳	۱,۲۴	۱,۴۳	۱,۵۹	۱,۶۵	۱,۰۸
Gd	۴,۲۸	۵,۷۱	۴,۷۲	۴,۱۰	۴,۸۸	۷,۲۵	۵,۸۷	۳,۵
Tb	۰,۷	۰,۹۶	۰,۷	۰,۶۴	۰,۷۸	۱,۱۶	۰,۹۴	۰,۵۹
Dy	۴,۲۵	۶,۱۲	۴,۴۵	۸,۳	۰,۶۵	۴۹,۷	۰,۲۶	۵۱,۳
Ho	۰,۹۲	۱,۲۷	۰,۹۴	۰,۷۸	۱,۰۵	۱,۵۹	۱,۲۲	۰,۷۶
Er	۲,۷	۳,۷۲	۲,۷۸	۲,۲۳	۳,۱۱	۴,۶۴	۳,۷۸	۲,۱۲
Tm	۰,۳۷	۰,۵۵	۰,۴۲	۰,۳۲	۰,۴۴	۰,۶۷	۰,۵۳	۰,۳۲
Yb	۲,۴	۳,۵	۲,۵	۲,۲	۲,۸	۴,۴	۳,۴	۲
Lu	۰,۳۸	۰,۵۱	۰,۳۸	۰,۳۲	۰,۴۴	۰,۶۵	۰,۵۱	۰,۳

## ادامه جدول ۱

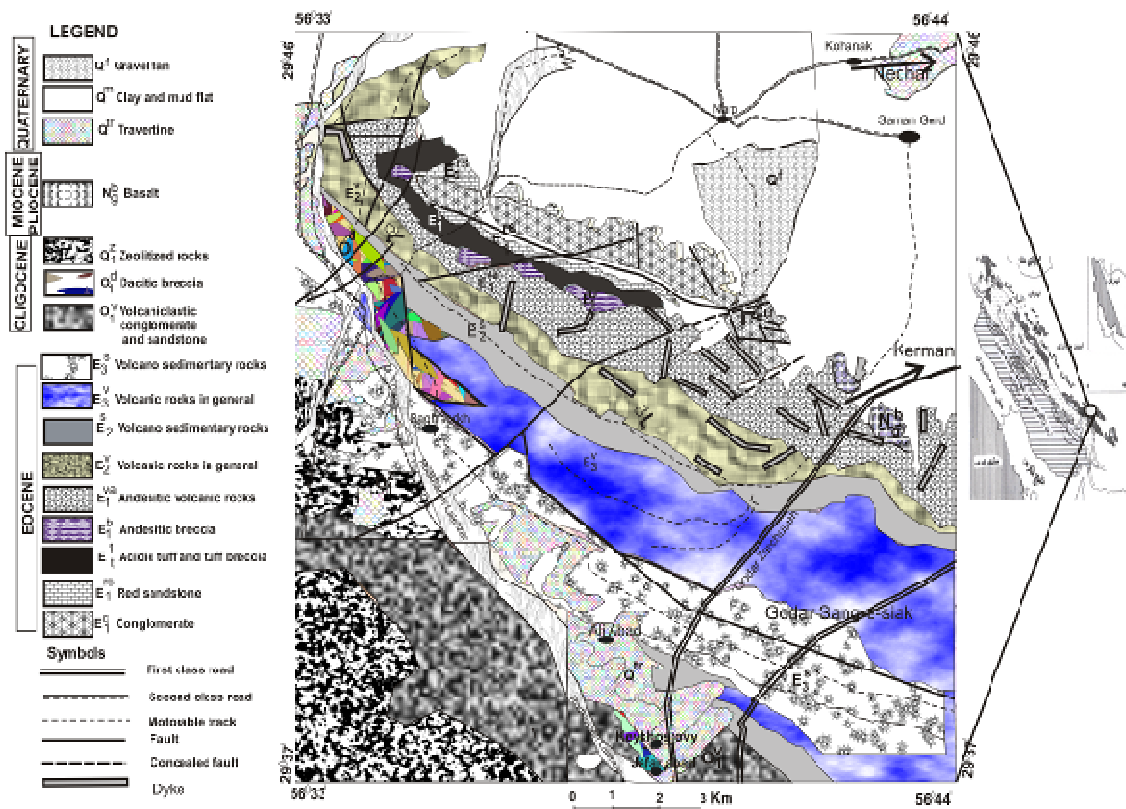
شماره نمونه	ZF-G10	ZF-H5	ZF-M5	ZF-O4	ZF-O7	ZF-O12
نام سنگ	تراکی-آندزیت	بازالت	بازالتیک-آندزیت	بازالت	بازالت	تراکی-آندزیت
SiO <sub>2</sub> %	۵۵,۲	۵۱,۵	۵۲,۴	۵۱,۷	۴۸,۱	۵۴,۸
Al <sub>2</sub> O <sub>3</sub>	۱۸,۳	۱۹,۸	۱۸,۹	۱۸,۴	۲۱,۲	۱۹,۱
Fe <sub>2</sub> O <sub>3</sub> (t)	۷,۵۹	۹,۴۵	۹,۳	۸,۴۲	۷,۵۳	۷,۱۲
CaO	۱۲,۶	۸,۴۷	۷,۹	۷,۶۳	۸,۶۴	۷,۸۰
K <sub>2</sub> O	۲,۳۸	۱,۸	۱,۱۰	۲,۰۳	۱,۷۶	۲,۵۲
MgO	۱,۷	۲,۰۲	۴,۳۴	۲,۷۵	۲,۰۹	۲,۰۳
MnO	۰,۲۲	۰,۱۶	۰,۱۷	۰,۱۶	۰,۱۲	۰,۱۲
Na <sub>2</sub> O	۳,۵	۳,۴	۲,۶	۲,۲	۳,۱	۳,۴
P <sub>2</sub> O <sub>5</sub>	۰,۲۵	۰,۲۲	۰,۱۶	۰,۲۵	۰,۳	۰,۲۹
Cr <sub>2</sub> O <sub>3</sub>	۰,۰۰۵	۰,۰۰۵	۰,۰۰۵	۰,۰۰۵	۰,۰۰۵	۰,۰۰۵
TiO <sub>2</sub>	۰,۸۹	۰,۹۸	۰,۸۸	۰,۹۴	۰,۹۸	۰,۹۹
LOI	۱,۴۷	۲,۲۳	۲,۴۴	۱,۶۳	۲,۲۳	۱,۶۹
Sum	۹۸,۶	۱۰۱,۷	۱۰۰,۲	۹۷,۲	۹۶	۹۹,۱
Ba ppm	۳۱۰	۳۲۰	۲۱۰	۲۷۰	۲۷۰	۳۰۰
Sr	۵۴۰	۷۳۰	۵۹۰	۶۰۰	۶۱۰	۵۱۰
Zn	۷۷	۸۰	۷۵	۷۶	۶۷	۷۵
Ag	۰,۵	۰,۵	۰,۵	۰,۵	۲	۲
U	۱,۴	۱	۰,۶۶	۱,۳۵	۱,۹۳	۲,۴۸
Co	۱۴,۲	۲۴,۷	۲۶	۲۰,۳	۱۸,۶	۱۵,۶
Cs	۰,۹	۰,۴	۰,۷	۰,۷	۰,۵	۱,۱
Cu	۴۴	۹۱	۴۵	۴۹	۷۵	۱۰۵
V	۱۴۲	۲۰۸	۲۵۳	۱۷۵	۱۹۶	۱۶۶
Ta	۰,۲۵	۰,۲۵	۰,۲۵	۰,۲۵	۰,۲۵	۰,۵
Th	۶	۱,۴	۳,۱	۲,۶	۸,۶	۱۰,۶
Tl	۰,۲۵	۰,۲۵	۰,۲۵	۰,۲۵	۰,۲۵	۰,۲۵
Nb	۴	۴	۳	۵	۶	۹
Ni	۲,۵	۲۱	۱۸	۲,۵	۱۱	۸
Ga	۱۶	۱۶	۱۸	۱۶	۱۷	۱۹
W	۱	۰,۵	۰,۵	۱	۱	۱
Hf	۳	۲	۲	۳	۴	۵
Mo	۱	۱	۱	۱	۱	۱
Sn	۰,۵	۰,۵	۰,۵	۱	۲	۲
Rb	۶۲,۴	۳۸	۲۷	۶۳,۷	۵۹,۴	۸۸,۸
Y	۲۰,۷	۱۸,۹	۱۶,۲	۲۲,۹	۲۳,۴	۲۷,۶
Zr	۹۹,۳	۹۲,۶	۶۵,۳	۱۱۰	۱۴۴	۱۸۳
La	۲۶,۲	۲۵,۳	۱۵	۲۶,۱	۲۷,۹	۳۱,۶
Ce	۴۲,۷	۴۲,۹	۲۷,۶	۵۰,۱	۵۷,۱	۶۱,۸
Pr	۴,۹۹	۵,۳۳	۳,۴	۶,۱	۷,۰۴	۷,۵
Nd	۲۰	۵,۲۱	۱۴,۷	۲۴	۲۸,۲	۳۰
Sm	۴۳	۴۶	۱۳	۵,۱	۵,۹	۶۴
Eu	۱,۲۱	۱,۴۴	۱,۰۳	۱,۴۴	۱,۴۸	۱,۵۷
Gd	۳,۸۸	۴,۲۲	۳,۱۵	۴,۶۶	۴,۰۷	۵,۷۷
Tb	۰,۶۷	۰,۶۱	۰,۴۹	۰,۷	۰,۸	۰,۸۸
Dy	۳,۹۵	۲,۵۹	۳,۰۹	۴,۱۱	۴,۹۲	۴,۵
Ho	۰,۷۹	۰,۷۲	۰,۶۲	۰,۸۶	۱	۱,۱۱
Er	۴,۲	۱۲,۲	۹,۷,۱	۳۴,۲	۷۷,۲	۲۷,۳
Tm	۰,۳۴	۰,۳۱	۰,۲۸	۰,۳۷	۰,۴۲	۰,۴۳
Yb	۲,۳	۱,۸	۱,۹	۲,۳	۲,۷	۳
Lu	۰,۳۳	۰,۲۷	۰,۲۵	۰,۳۹	۰,۴	۰,۴۲

به خوبی قابل تشخیص‌اند. از نظر ویژگی‌های میکرو‌سکوپی، در این سنگ‌ها کانی‌های اصلی شامل پلازیوکلаз کلسیک (لابرادریت-بیتونیت)، کلینوپیروکسن اوزیت و دیوپسید و الیوین‌های ایدنگریتی دیده می‌شوند (شکل ۳، الف، ب و ج). در بازالت‌ها بافت اصلی پورفیری بوده و در برخی از نمونه‌ها نیز به صورت فرعی با بافت‌های گلومروپورفیری و حفره‌ای قابل تشخیص‌اند.

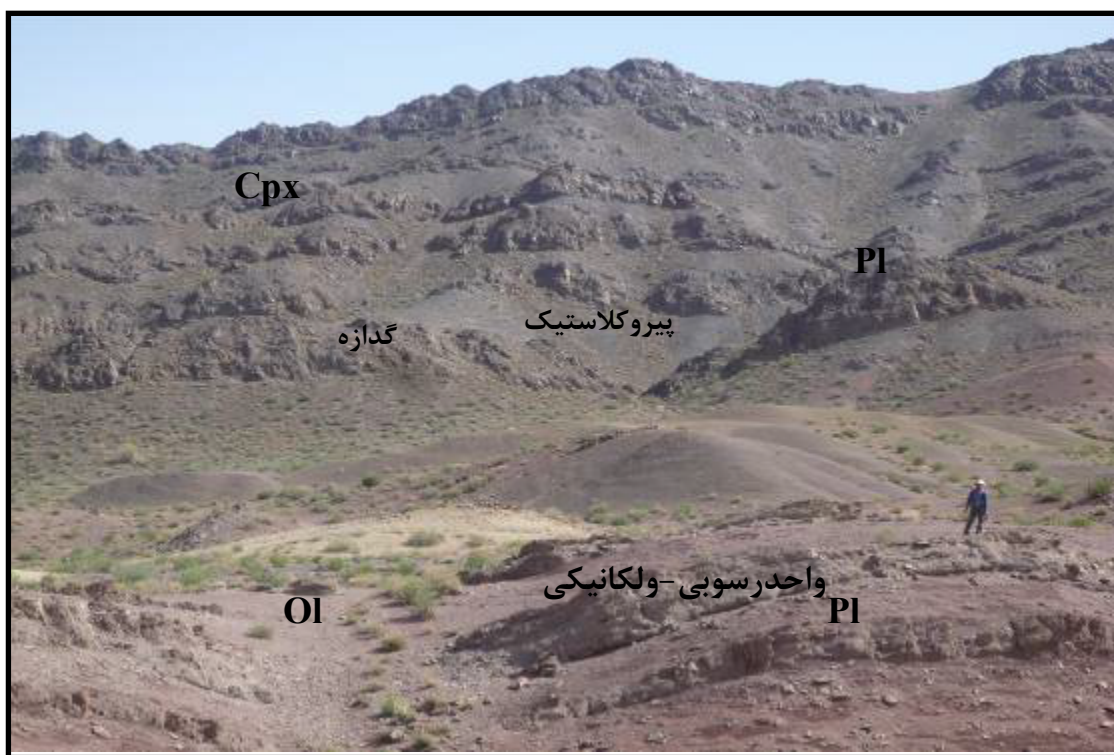
آنذیت‌های بازالتی در نمونه‌ی دستی به رنگ‌های سبز تیره و سیاه دیده می‌شوند. در همه‌ی این سنگ‌ها بافت پورفیری بافت اصلی بوده و در برخی از نمونه‌ها نیز به صورت فرعی با بافت گلومروپورفیری قابل تشخیص‌اند. کانی‌های اصلی این سنگ‌ها پلازیوکلاز و کلینوپیروکسن اوزیتی هستند که در زمینه‌ای از ریزبلورهای پلازیوکلاز، ریز بلورهای کلینوپیروکسن و کانی‌های کدر همراه با کانی‌های ثانویه قرار دارند. از کانی‌های فرعی می‌توان به اکسید آهن و از کانی‌های ثانویه نیز به کلریت، اپیدوت، کلسیت و سریسیت اشاره کرد. در این سنگ‌ها بلورهای پلازیوکلاز حاوی بافت غربالی و منطقه‌بندی بوده و حالت عدم تعادل با زمینه را نشان می‌دهند (شکل ۳، د).

### زمین‌شناسی و سنگ‌شناسی گدازه‌ها

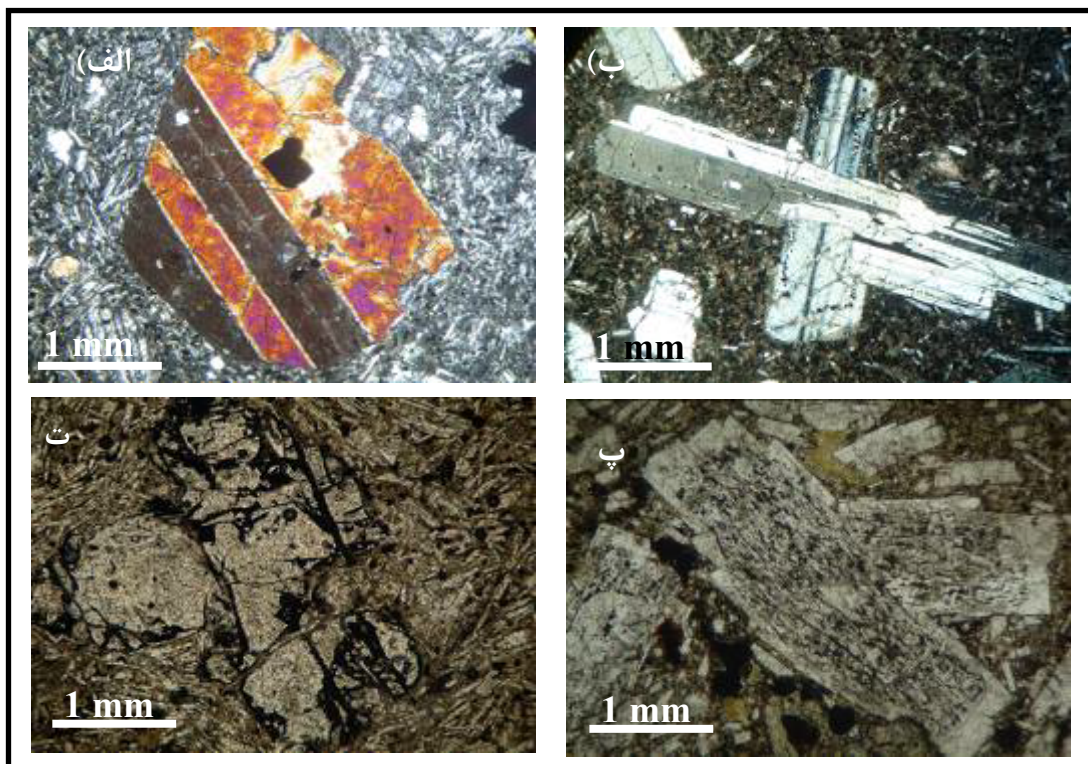
سیمای غالب منطقه‌ی مورد بررسی را سنگ‌های آتشفسانی تیره و روشن، برش‌های آتشفسانی و نفوذی‌های نیمه‌عمیق (بیشتر دایک) تشکیل می‌دهند. واحدهای سنگی اصلی در منطقه، گدازه‌ها هستند که شامل آندزیت، آندزیت بازالتی و بازالت بوده شکل (۱) [۳]، و در بعضی بخش‌ها توده‌های نفوذی گابرویی، دیوریتی و تونالیتی در آنها نفوذ کرده و باعث دگرسانی شدید و گسترش رگه‌های زیادی از اپیدوت، کلسیت و سیلیس در بعضی بخش‌های این گدازه‌ها شده است. با توجه به مشاهدات صحرایی و حضور توده‌های نفوذی در بسیاری از نقاط، احتمالاً در زیر این دنباله‌های آتشفسانی، توده‌های نفوذی قرار گرفته‌اند که در بعضی از بخش‌ها به صورت زبانه و استوک رخمنون دارند. روند عمومی گسترش گسل‌های منطقه، شمال غربی-جنوب شرقی است (شکل ۲). همچنین گسل‌های منطقه با روند شمال غربی-جنوب شرقی و روند شمالی-جنوبی باعث جابه‌جایی دنباله‌های سنگی منطقه و فرسایش هر چه بیشتر آنها شده و در نتیجه دگرسانی سنگ‌ها را تسهیل کرده‌اند. بازالت‌های منطقه اغلب سیاه رنگ‌اند و بلورهای درشت کلینوپیروکسن با رنگ سیاه و منشورهای هشت وجهی در آنها



شکل ۱ نقشه‌ی زمین‌شناسی ۱/۱۰۰۰۰۰ دره زارچوئیه، (نقل از [۳]، با تغییرات).



شکل ۲ تناوبی از لایه‌های گدازه و پیروکلاستیک بررسی شده در منطقه‌ی مورد بررسی، (دید به سمت غرب).



شکل ۳ تصاویر میکروسکوپی از (الف): فنوکریست پیروکسن با ماکل پلی سنتتیک (XPL) (ب): فنوکریست‌های پلازیوکلاز (XPL) (پ): بلورهای ایدنگزیتی شده الیوین وابسته به سنگ‌های بازالتی، (PPI). ت) فنوکریست‌های پلازیوکلاز با بافت غربالی و نامتعادلی در سنگ‌های آندرزیت بازالتی، (PPI).

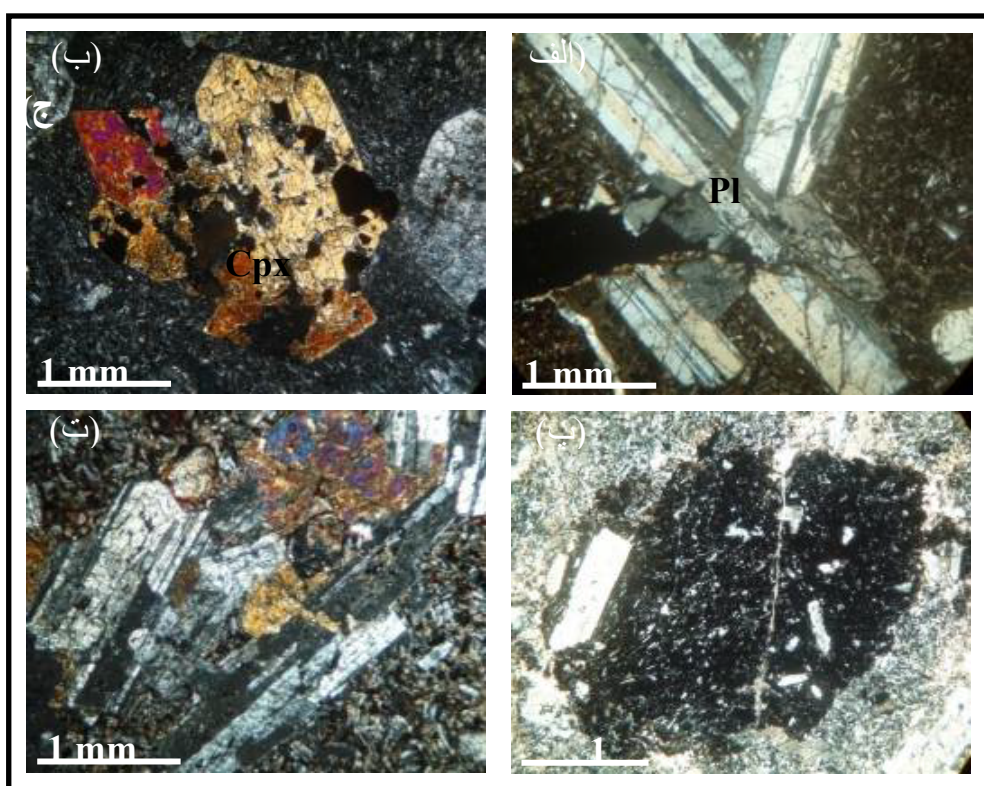
و پریکلین، بافت غربالی درشت و بافت‌های نامتعادل با زمینه‌اند. با توجه به ماکل پلی سنتتیک و منطقه‌بندی در پلازیوکلازها و زاویه‌ی خاموشی ترکیب آنها آندزین – لابرادوریت پیشنهاد می‌شود. اما آنها‌یکی که به نسل دوم وابسته‌اند، فاقد شواهد عدم تعادل بوده و دستخوش دگرسانی کمتری شده‌اند، و اثری از خوردگی در آنها دیده نمی‌شود. این بلورها دارای ماکل پلی سنتتیک و کارلسپاد – آلبیت بوده و با زمینه‌ی سنگ در تعادلنده. میکروفنوکریستهای نسل دوم (بلورهای پلازیوکلاز فاقد بافت غربالی) نسبت به میکروفنوکریستهای نسل اول (بلورهای پلازیوکلاز با بافت غربالی و نامتعادل) کوچکترند. میکرولیت‌های پلازیوکلاز در زمینه‌ی سنگ دیده می‌شوند و با توجه به نداشتن بافت‌های نامتعادل به نسل دوم وابسته‌اند. همچنین در گذازه‌های منطقه برونبوم‌های ماقمایی به دو صورت دیده می‌شوند. اول برونبوم‌های درشت دانه که حاصل انباست فنوکریستهای پلازیوکلاز، پیروکسن و الیوین هستند و از نظر کانی‌شناسی مانند سنگ میزان خودند و با توجه به یکسان بودن جنس برونبوم‌ها و سنگ میزان، این برونبوم‌ها با سنگ میزان خود هم خاستگاه‌ند و به عنوان برونبوم‌های پیش‌رس (کومولیت) در ماقما در نظر گرفته می‌شوند. دوم برونبوم‌های ریزدانه که به صورت انباستی از میکرولیت‌های پلازیوکلاز و دارای زمینه‌ای تیره‌تر نسبت به سنگ میزان خود هستند (شکل ۴ پ و ت). لازم به یادآوری است که برونبوم‌های ماقمایی در سنگ‌های بازالتی و آندزیت‌های بازالتی بیشتر در سنگ‌های آندزیتی دیده می‌شوند. بر اساس بررسی‌های میکروسکوپی به نظر می‌رسد علت ایجاد منطقه‌بندی و بافت‌های غربالی و نامتعادلی در بلورهای پلازیوکلاز و پیروکسن، تغییر فیزیکی-شیمیایی در آشیانه‌ی ماقمایی همراه با اختلالات ماقمایی و کاهش فشار بی دررو حین صعود ماقما بوده [۴] ولی جدایی دقیق این عوامل امکان‌پذیر نیست. به منظور بررسی تغییرات ترکیبی، کانی‌شناسی و بافتی گذازه‌ها، دنباله‌ای از گذازه‌ها و پیروکلاستیک‌های منطقه بررسی شد (شکل ۳). در پایین‌ترین بخش این ستون، یک واحد رسوبی-آتشفه‌ای واقع شده و سپس واحدهای مختلف گذازه و پیروکلاستیک که ویژگی‌های لیتو‌لوزیکی آنها در (شکل ۵) آمده، قرار گرفته‌اند. در ستون بررسی شده، هیچ‌گونه ناپیوستگی بین لایه‌ها وجود ندارد و عدم وجود شواهدی مانند خاک‌های قدیمی (paleosole) نشان می‌دهد که فاصله زمانی زیادی بین فوران‌ها وجود نداشته

آنذیت‌ها که نسبت به دیگر واحدهای گذازه‌ای در منطقه گسترش بسیار کمتری دارند، در نمونه‌ی دستی به رنگ خاکستری و سبز تیره دیده می‌شوند. بافت‌های آنها پورفیری و در برخی نقاط گلومروپورفیری است. کانی‌های اصلی آنها شامل پلازیوکلاز و کلینوپیروکسن هستند (شکل ۴، الف و ب). بلورهای، آمفیبول و بیوتیت و کانی‌های ثانویه کلریت، کلسیت، سریسیت و اپیدوت نیز در این سنگ‌ها دیده می‌شوند. بلورهای آمفیبول در برخی از نمونه‌ها ابعاد ۰/۲ تا ۱/۵ میلی‌متر دارند و تا ۵ درصد حجم سنگ را تشکیل می‌دهند، بلورهای بیوتیت نیز با ابعاد ۰/۳ تا ۲ میلی‌متر و فراوانی ۴ تا ۵ درصد در نمونه‌ها حضور دارند. در بلورهای بیوتیت و آمفیبول پدیده‌ی کدر شدن مشاهده می‌شود و حاشیه‌ی آنها کاملاً سوخته است و بیشتر اکثراً به کلریت و اپیدوت دگرسان شده‌اند و بعضی از نمونه‌ها به طور کامل تبدیل به کانی‌های کدر تبدیل شده‌اند که این پدیده می‌تواند به علت تغییر فیزیکی-شیمیایی در آشیانه‌ی ماقمایی و افت سریع فشار باشد [۴]. بافت‌های غیرتعادلی مانند منطقه‌بندی، بافت غربالی و خوردگی در بلورهای پلازیوکلاز دیده می‌شوند.

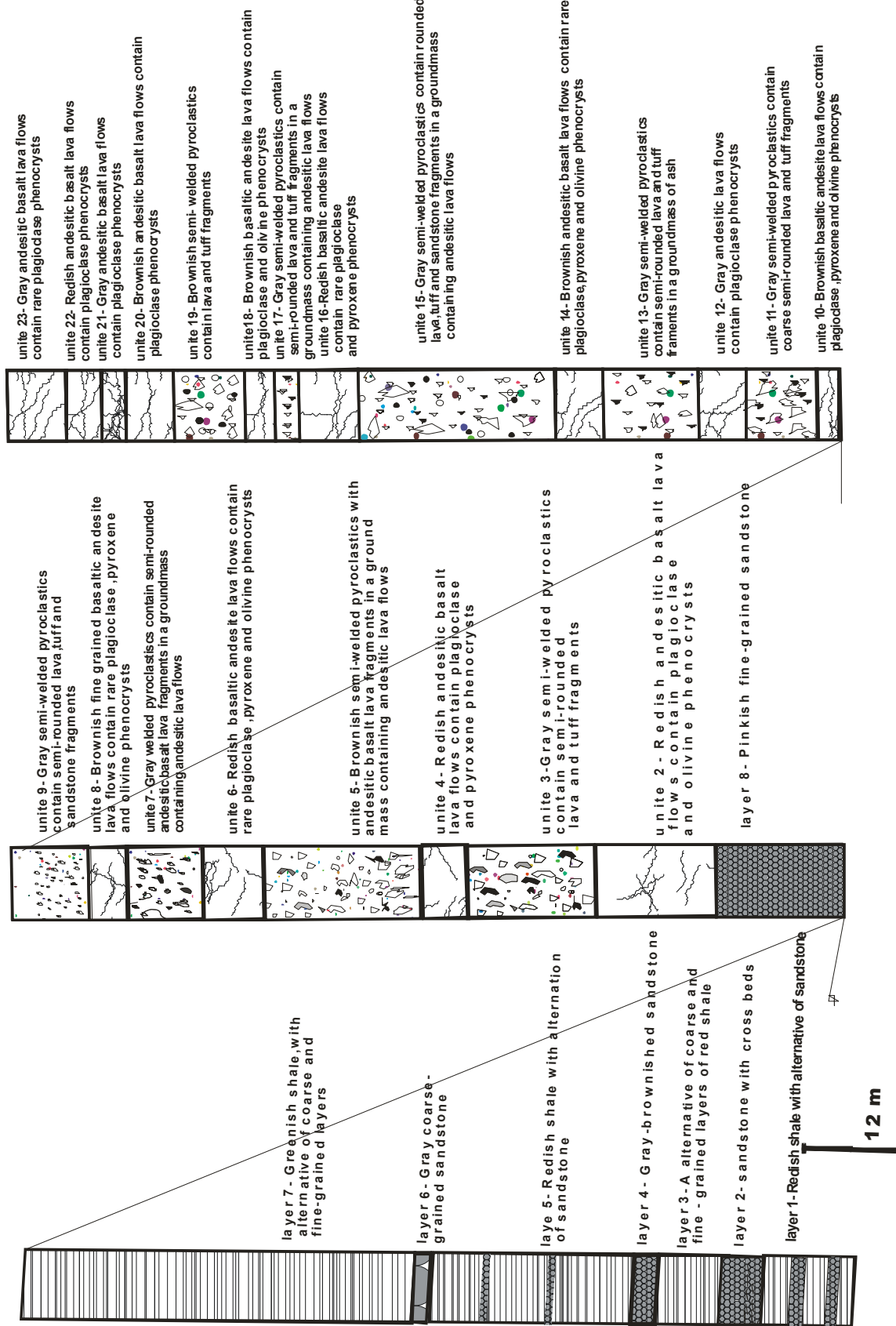
بررسی‌های میکروسکوپی روی نمونه‌های مورد بررسی نشان می‌دهند که گذازه‌های بازالتی، اولیه‌تر از بقیه هستند زیرا بلورهای پلازیوکلاز که حاوی بافت‌های غربالی درشت [۵]، منطقه‌بندی نوسانی و انحلال و خوردگی هستند در این گروه از گذازه‌ها کمتر دیده می‌شوند اما در گذازه‌های آندزیت بازالتی و آندزیتی، پلازیوکلازها به شکل نیمه‌شکدار تا یوهدرال، فرم تخته‌ای و کشیده، هم به صورت بلورهای منفرد و هم به صورت خوش‌های (تیغه‌های درهم قفل شده) که اندازه‌ی آنها به ۶ میلی‌متر می‌رسد، در تمامی نمونه‌ها حضور داشته و منطقه‌بندی نوسانی، ماکل‌بندی (پلی سنتتیک)، کارلسپاد – آلبیت و پریکلین، بافت غربالی درشت، بافت‌های تعادلی و عدم تعادلی از جمله عوارض موجود در این بلورهای است. به طور کلی در گذازه‌های منطقه، بلورهای پلازیوکلاز به صورت فنوکریست (بلورهایی با اندازه‌ی بیشتر از ۲ میلی‌متر)، میکروفنوکریست (بلورهایی با اندازه بین ۰/۵ تا ۲ میلی‌متر) و میکرولیت (بلورهایی با اندازه کمتر از ۰/۵ میلی‌متر) در زمینه دیده می‌شود که مربوط به دو نسل متفاوت هستند. پلازیوکلازهای نسل اول عموماً نیمه شکله شکل دار تا شکل دار، فرم تخته‌ای و کشیده، حاوی منطقه‌بندی نوسانی، ماکل بندی کارلسپاد – آلبیت

همراه است و به نظر می‌رسد که مخزن ماقمایی به طور مرتب مورد هجوم ماقمایی جدید قرار می‌گرفته است، یعنی تغییرات به صورت درصد فنوکریستها انجام می‌شده است، بدین صورت که در بخش دوم تعداد فنوکریست‌های پلازیوکلاز با بافت‌های نامتعادلی افزایش چشمگیر نشان می‌دهد که این پدیده با کاهش محسوس الیوین و پیروکسن و مقدار برونبوم همراه است. این موضوع می‌تواند به دلیل توقف زیادتر ماقمای در مخزن ماقمایی، جدایش بیشتر، اختلاط با ماقمای جدید و جذب برونبوم و کانی‌های سنگین‌تر مثل الیوین و پیروکسن باشد [۶]. در صورتیکه در بخش اول و سوم، گدازه‌هایی را داریم که در آنها مقدار برونبوم و بلورهای الیوین و پیروکسن بیشتر و مقدار پلازیوکلاز کمتری دارند و این شواهد نشانه‌ی اولیه‌تر و اصیل بودن این بخش از ستون مورد بررسی است. به این ترتیب، فراوانی غیرعادی پلازیوکلاز در بعضی از سنگ‌ها می‌تواند به دلیل شناوری پلازیوکلاز و یا جذب و انحلال الیوین و پیروکسن باشد و در نتیجه این گدازه‌ها احتمالاً تاثیر جدایش و اختلاط بیشتری قرار گرفته‌اند و توقف طولانی‌تری در مخزن ماقمایی داشته‌اند [۴].

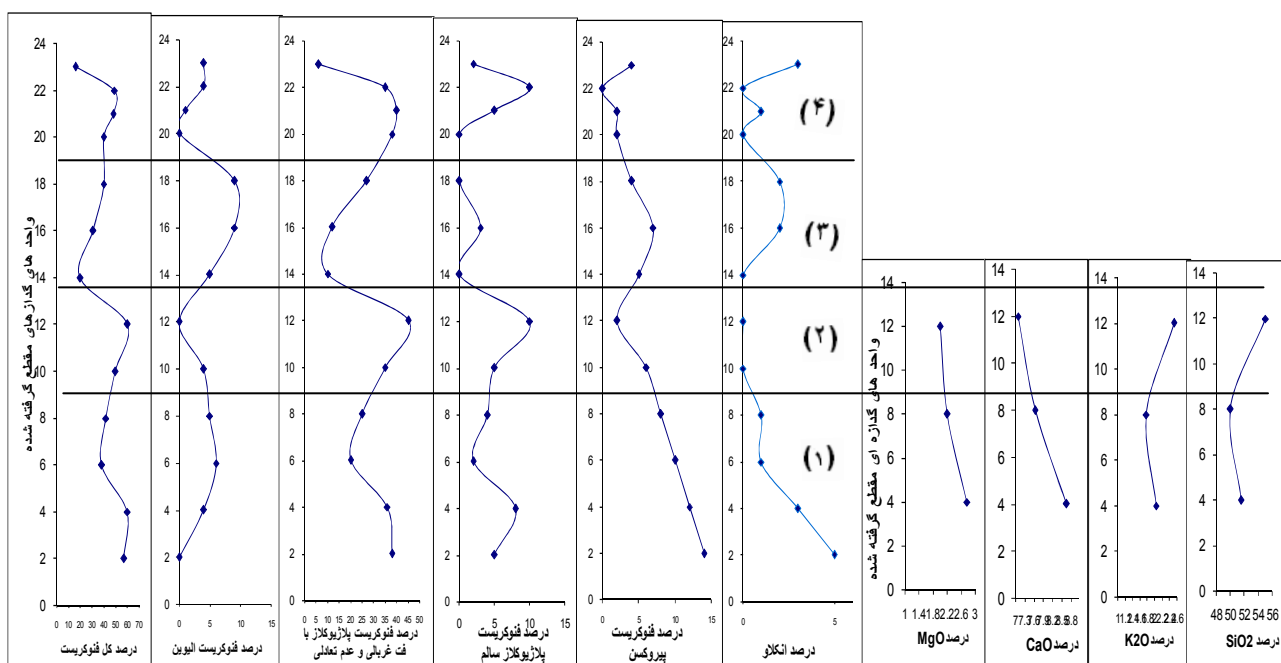
است. بنابراین با بررسی سیستماتیک این ستون می‌توان بخشی از رویدادهایی را که در مخزن ماقمایی رخ داده، بدست آورد. برای این منظور از چندین پارامتر کمک گرفته شدند که در شکل (۶) نشان داده شد. چنانکه در این شکل دیده می‌شود، در پایین‌ترین گدازه‌ها درصد کل فنوکریست کم است و گدازه‌ها حاوی بیشترین مقدار الیوین و پیروکسن‌اند. در این گدازه‌ها بیشترین مقدار برونبوم دیده می‌شود و مقدار پلازیوکلاز نسبتاً کم است، همچنین در این گدازه‌ها مقدار  $\text{CaO}$  و  $\text{MgO}$  بیشتر و مقدار  $\text{SiO}_2$  و  $\text{K}_2\text{O}$  کمتر است. به سمت بالای ستون، به تدریج مقدار فنوکریست افزایش می‌یابد، ولی این افزایش فقط به پلازیوکلاز وابسته است، چون الیوین و پیروکسن کم می‌شوند و تعداد برونبوم‌ها به صفر می‌رسد و چنانکه در شکل (۶) مشاهده می‌شود، با افزایش پلازیوکلاز و کاهش الیوین و پیروکسن در گدازه‌ها، مقدار  $\text{CaO}$  و  $\text{MgO}$  کمتر و مقدار  $\text{SiO}_2$  و  $\text{K}_2\text{O}$  افزایش می‌یابد. سپس دوباره مقدار برونبوم بالا رفته و درصد کل فنوکریست کاهش می‌یابد و مقدار الیوین و پیروکسن زیادتر و پلازیوکلاز کم می‌شود و در بالاترین بخش دوباره این دوره تکرار می‌شود. یعنی در این سنگ‌ها، کاهش کانی‌های فرومیزین با افزایش پلازیوکلاز و کاهش برونبوم



شکل ۴ تصاویر میکروسکوپی از (الف): فنوکریست پلازیوکلاز با بافت غربالی و گلومروپورفیری و (ب): فنوکریست پیروکسن وابسته به سنگ‌های آندزیتی (وضعیت XPL)، (پ و ت) برونبوم‌های ماقمایی ریزدانه و درشت دانه در گدازه‌های منطقه مورد بررسی (وضعیت XPL).



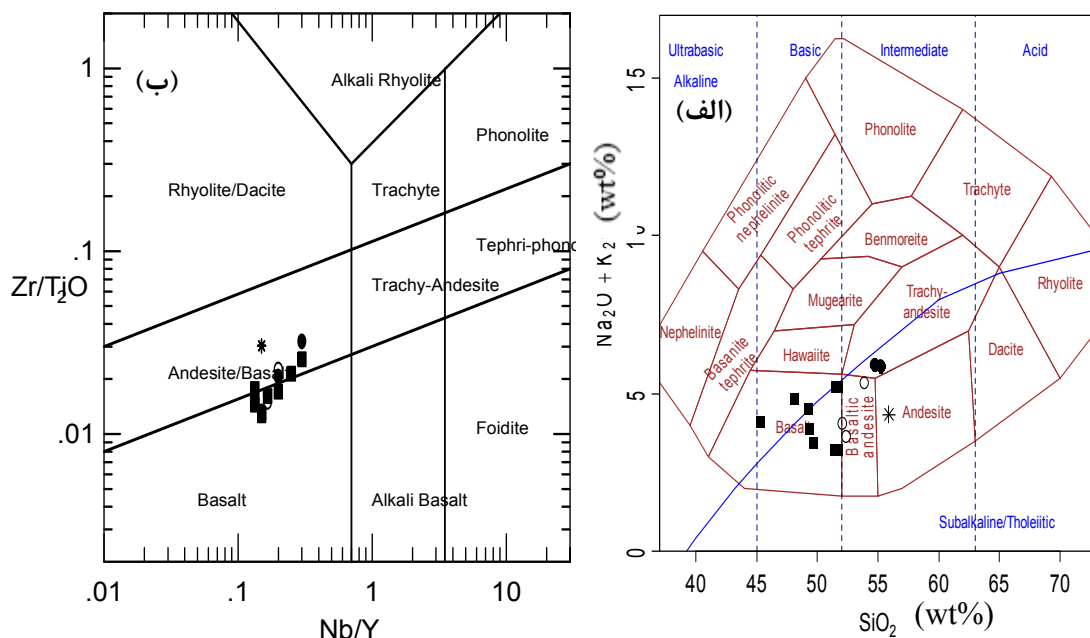
شکل ۵ ستون چینه‌شناسی گدازه‌ها و پیروکلاستیک‌های مورد بررسی.



شکل ۶ همخوانی پارامترهای مورد استفاده در گذازه‌های موجود در ستون چینه‌نگاری بررسی شده در منطقه. این ستون‌ها برای بررسی انعکاس تغییرات ترکیبی مagmaها روی ویژگی بافتی و کانی‌شناسی گذازه‌ها رسم شده‌اند. برای توضیح بیشتر به متن مراجعه شود.

بحث و بررسی  
نمودار (۱) مقدار  $\text{SiO}_2$  است و  $\text{SiO}_2/\text{Nb}/\text{Y}$  [۸] که بر اساس  $\text{Zr}/\text{TiO}_2-\text{Nb}/\text{Y}$  است، نمونه‌ها در گستره‌های بازالت، بازالتیک-آنذیت و آندزیت قرار می‌گیرند (شکل ۷).

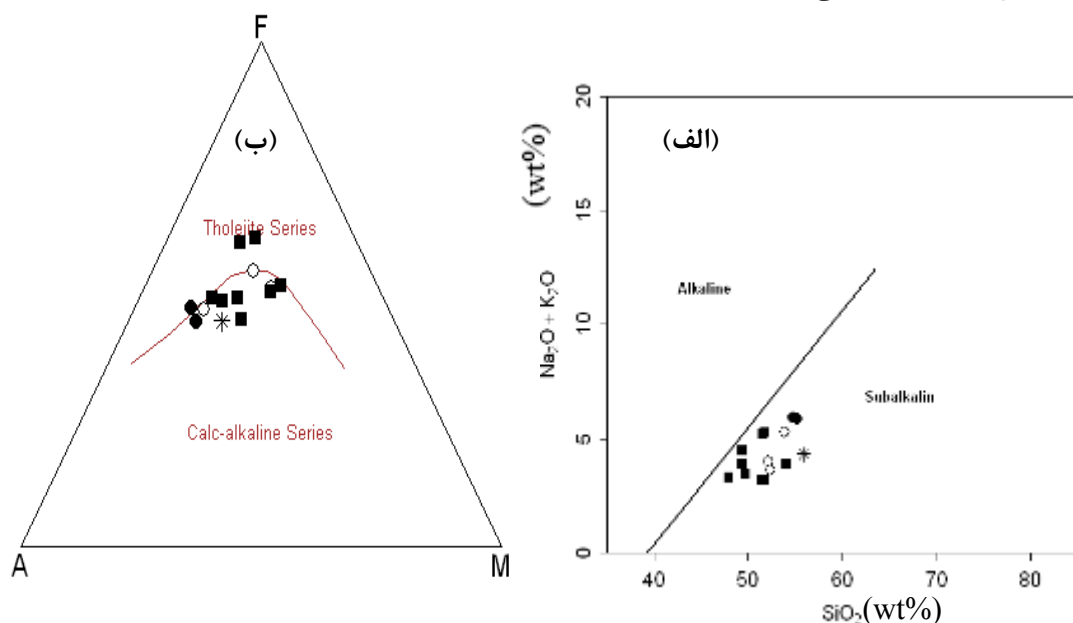
بنابر جدول (۱) مقدار  $\text{SiO}_2$  سنگ‌های آتشفشنانی منطقه‌ی مورد بررسی بین  $47/4$  تا  $55/9$  درصد وزنی متغیر است. در نامگذاری گذازه‌ها نمودار [۷] که بر اساس  $(\text{Na}_2\text{O} + \text{K}_2\text{O})$ - $\text{SiO}_2$  است و نمودار [۸] که بر اساس  $\text{Zr}/\text{TiO}_2-\text{Nb}/\text{Y}$  است،



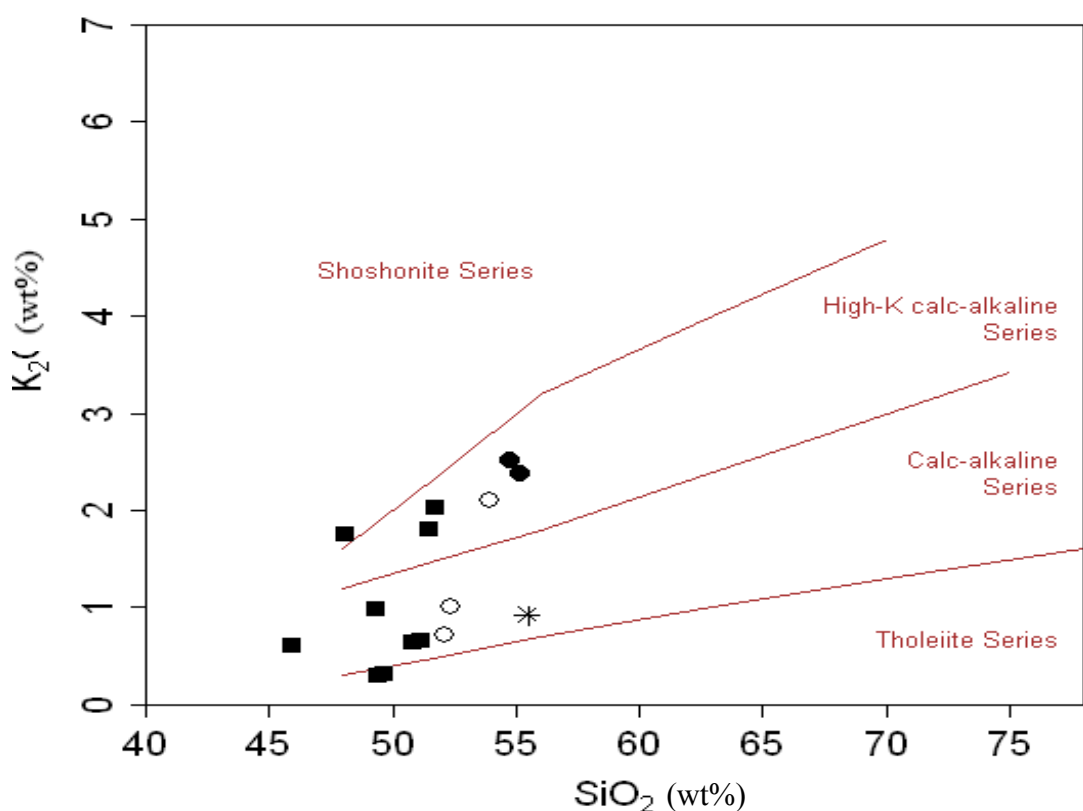
شکل ۷ موقعیت سنگ‌های آتشفشنانی منطقه با استفاده از نمودارهای (الف) [۷] و (ب) [۸]. نشانه‌ها؛ ■ بازالت، ● تراکی-آنذیت، ○ بازالتیک-آنذیت و \* آندزیت.

گستره‌ی آهکی-قلیایی قرار می‌گیرند. همچنین بر اساس نمودار (شکل ۹) [۱۱] نمونه‌ها در گستره‌ی آهکی - قلیایی و آهکی - قلیایی با پتاسیم بالا واقع می‌شوند.

با ترسیم تغییرات اکسیدهای عناصر قلیایی نسبت به  $\text{SiO}_2$  در نمودار شکل (۸، الف) [۹] نمونه در گستره‌ی شبه قلیایی قرار می‌گیرند. نمونه‌هایی که در این گستره قرار دارند، پس از پیاده شدن در نمودار مثلثی (شکل ۸، ب) [۱۰] در



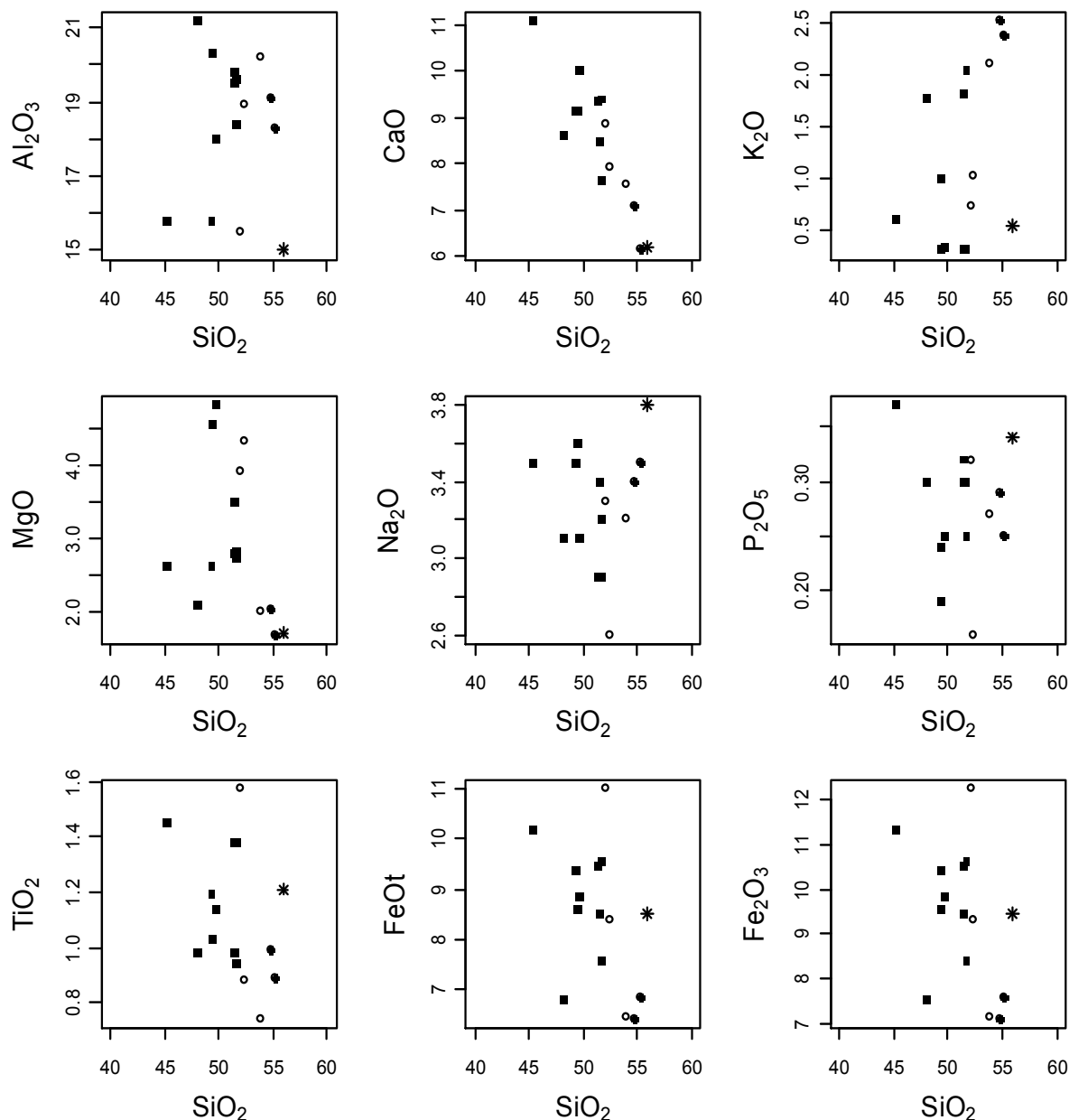
شکل ۸ تعیین سری ماغمایی سنگ‌های آتشفشاری منطقه با استفاده از نمودارهای، الف [۹] و ب [۱۰]، نشانه‌ها مطابق شکل ۷.



شکل ۹ نمودار تعیین سری ماغمایی سنگ‌های آتشفشاری منطقه بر اساس نمودار [۱۱]، نشانه‌ها مطابق شکل ۷ انتخاب شده‌اند.

نشان می‌دهند، مقدار تغییرات و پراکندگی این اکسیدها می‌تواند ناشی از ناهمگن بودن سنگ در اثر وجود درشت بلورها و دگرسانی سریستی و رسی شدن باشد.  $P_2O_5$  با افزایش  $SiO_2$  روند صعودی همراه با اندکی پراکندگی را نشان می‌دهند، که این می‌تواند ناشی از ناسازگار بودن فسفر در مراحل اولیه جدایی ماقمای بازی بلور آپاتیت در مراحل تأخیری‌تر جدایی بلورین باشد [۱۲].

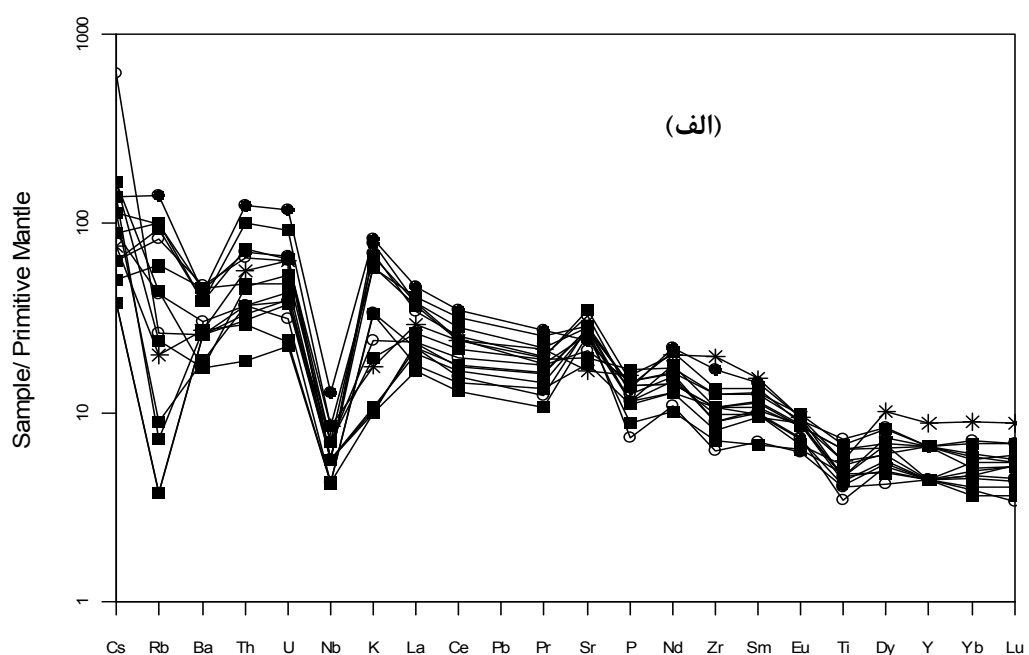
به منظور بررسی چگونگی ژئوشیمیایی گدازه‌های منطقه مورد بررسی، از نمودارهای فراوانی اکسیدهای عناصر اصلی استفاده شده است (شکل ۱۰). گستره‌ی تغییرات  $Al_2O_3$  در نمونه‌ها از ۱۵ تا ۲۱/۲ درصد وزنی است که با افزایش  $SiO_2$  روند صعودی یا نزولی مشخصی نشان نداده و حالت پراکندگی دارد، این مسئله می‌تواند ناشی از فرایند دگرسانی بلورهای پلازیوکلار به سریستی، کلسیت و کلریت باشد. تغییرات  $K_2O$  و  $Na_2O$  نسبت به  $SiO_2$  روند افزایشی باشند. نمودارهای اکسید عناصر اصلی (درصد وزنی) در برابر درصد وزنی  $SiO_2$  برای سنگ‌های آتشفشنانی منطقه، نشانه‌ها مطابق شکل ۷ انتخاب شده‌اند.



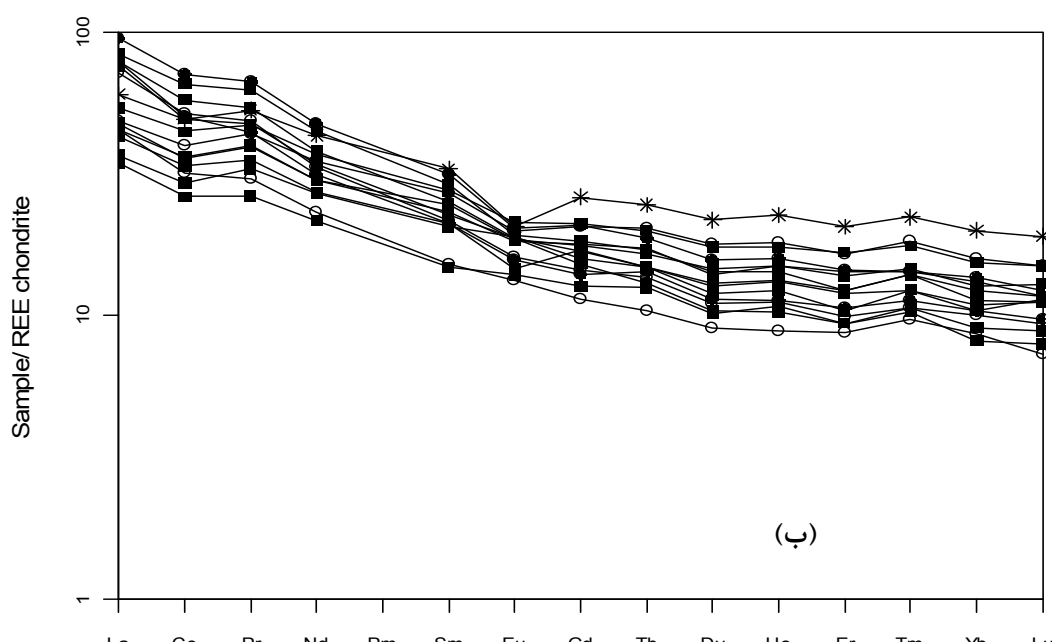
شکل ۱۰ نمودارهای اکسید عناصر اصلی (درصد وزنی) در برابر درصد وزنی  $SiO_2$  برای سنگ‌های آتشفشنانی منطقه، نشانه‌ها مطابق شکل ۷ انتخاب شده‌اند.

برای تعیین و تشخیص محیط زمین ساختی مآگماهای سازنده‌ی گذاره‌ها، فراوانی عناصر کمیاب نمونه‌های مورد بررسی در نمودار عنکبوتی بهنجار شده با گوشه‌ی اولیه [۱۳] مورد بررسی قرار می‌گیرد (شکل ۱۱، الف)، در این نمودار HFS سنگ‌های منطقه از عناصر LILE غنی شده و از عناصر TEH شدگی نشان می‌دهند که این ویژگی شاخص سنگ‌های آتشفسانی وابسته به قوس آتشفسانی است [۱۲].

با افزایش مقدار  $\text{SiO}_2$ ,  $\text{MgO}$ ,  $\text{CaO}$ ,  $\text{FeOt}$ ,  $\text{TiO}_2$ ,  $\text{Fe}_2\text{O}_3$  یک روند کاهشی از بازالت به سمت آندزیت در سنگ‌های منطقه نشان می‌دهند، این تغییرات ناشی از تبلور و درصد کانی‌های تشکیل دهنده‌ی سنگ‌هاست. نمودارهای تغییرات اکسیدهای عناصر اصلی نسبت به  $\text{SiO}_2$  می‌بین روند جدایش در سنگ‌های منطقه و رابطه‌ی خویشاوندی بین آنها و احتمالاً خاستگاه مشترک آنها باشد.



شکل ۱۱ (الف)، نمودار عنکبوتی سنگ‌های آتشفسانی منطقه بر اساس داده‌ای [۱۳]، نشانه‌ها مطابق شکل ۷ انتخاب شده‌اند.



شکل ۱۱ (ب)، نمودار عناصر نادر خاکی سنگ‌های آتشفسانی منطقه بر اساس داده‌ای [۲۰]، نشانه‌ها مطابق شکل ۷.

سنگ‌های آتشفشاری منطقه روی نمودارهای مختلف تعیین جایگاه زمین‌ساختی که بیشتر بر پایه فراوانی عناصر کمیاب نامتحرک طراحی شده‌اند [۲۶-۲۳]، در قلمرو سنگ‌های آتشفشاری کمان ماگمایی قرار می‌گیرند (شکل ۱۲، الف تا ث). برای تشخیص کمان ماگمایی حاشیه‌ی فعال قاره‌ای از نوع جزایر اقیانوسی، از نمودار شکل (۱۲ ج) [۲۷] استفاده شده است، با توجه به این نمودار می‌توان این کمان ماگمایی را ناشی از فرورانش یک لیتوسفر اقیانوسی به زیر یک لیتوسفر قاره‌ای در نظر گرفت و به این ترتیب محیط تکتونوماگمایی سنگ‌های مورد بررسی از نوع محیط‌های حاشیه‌ی فعال قاره‌ای به شمار آورد.

در شکل (۱۳) عناصر کمیاب Ta و Th نسبت به Yb سنجیده می‌شود تا تغییرات شیمیایی خاستگاه، غنی‌شدگی، آلایش پوسته‌ای و جدایش بلوری مشخص شوند. تغییرات نسبت Th/Yb و Ta/Yb بازتاب دهنده تغییرات خاستگاه است. همچنین ناهماهنگی خاستگاه، Ta و Th را همسان تحت تأثیر قرار داده، بنابراین ترکیب گوشه نسبت به گوشه‌ی اولیه در طول یک شیب واحد به سمت نسبت‌های بالاتر یا پایین تر Th/Yb و Ta/Yb حرکت خواهد کرد [۲۸، ۲۹، ۳۰]. سنگ‌های مورد بررسی در این نمودار بیشتر در گستره‌ی سنگ‌های آهکی-قلیایی و غنی از Th و تقریباً تهی شده از Ta قرار گرفته‌اند و با خاستگاه گوشه‌ای غنی شده همخوانی دارند. غنی‌شدگی Th حاصل فازهای شاره‌ی وابسته به فرورانش است [۱۴]. چنانکه در شکل دیده می‌شود نمونه‌های مورد بررسی غنی‌شدگی از یک فاز شاری را نشان می‌دهند که احتمالاً به آبزدایی ورقه اقیانوسی فرورونده وابسته است (مولفه‌ی W در شکل (۱۳).

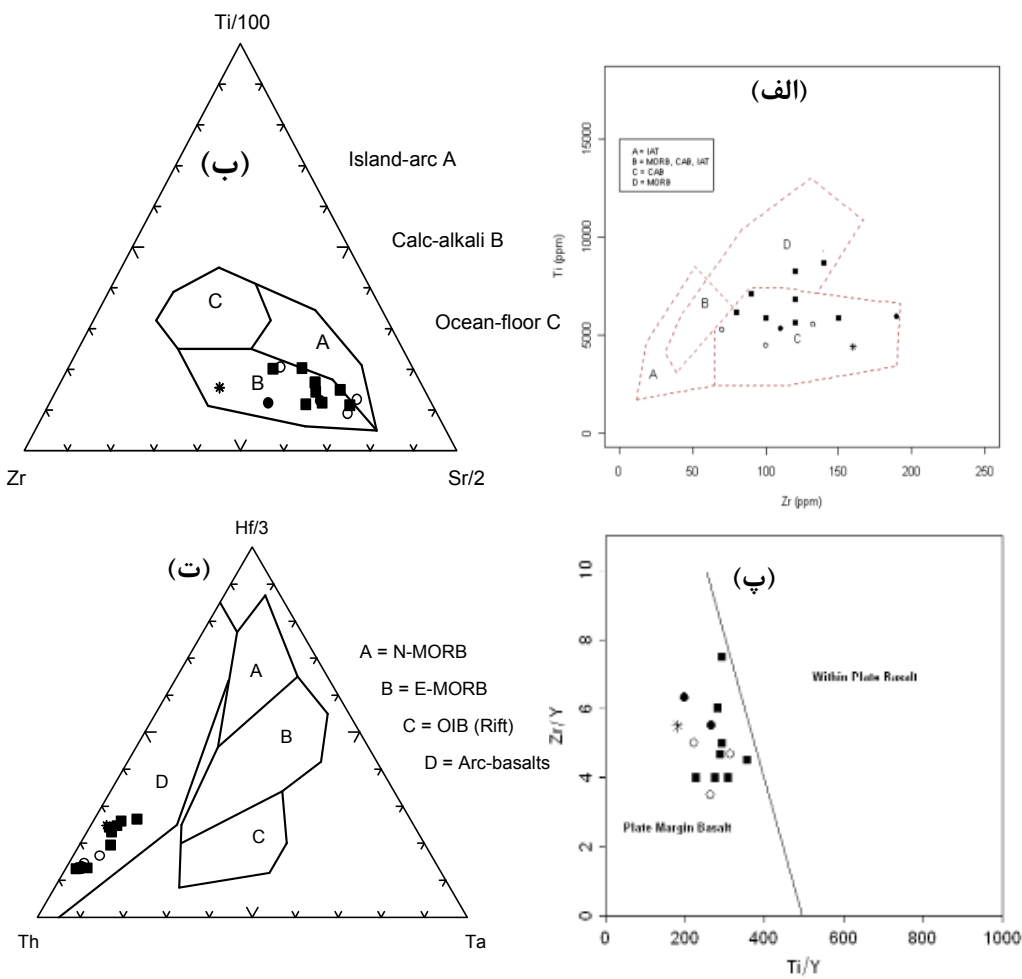
برای تعیین خاستگاه ماگمایی مادر سنگ‌های آتشفشاری منطقه مورد بررسی، می‌توانیم با استفاده از نمودار Rb/Yb نسبت به Rb [۳۱] احتمال شکل‌گیری این سنگ‌ها را از ذوب بخشی گوشه مورد بررسی قرار دهیم (شکل ۱۴). دلیل استفاده از این نمودار این است که گارنت، کانی اصلی نگهدارنده‌ی Yb است و نسبت متغیر Rb/Yb وابسته به گارنت بوده و نمودار مورد نظر بین ذوب گوشه اسپینل لرزولیتی و گارنت لرزولیتی تفاوت قائل می‌شود [۳۱]. فرایнд ذوب برای هر دو خاستگاه اسپینل لرزولیتی و گارنت لرزولیتی با فرض

بالا بودن LILE/HFSE در سنگ‌های آهکی - قلیایی مناطق کمانی، در نتیجه‌ی ورود اجزای LILE موجود در صفحه فرورونده به درون گوشه‌ی بالای آن به وجود می‌آید [۱۴]. از طرفی وجود بی‌هنجری منفی Nb، Ti و P در روند تغییرات عناصر کمیاب نمونه‌ها می‌تواند نشانگر شکل‌گیری سنگ‌ها در مناطق فرورانش باشد [۱۵]، که در اثر عملکرد شاره‌های ناشی از فرورانش به وجود می‌آیند [۱۷، ۱۶]. در مناطق فرورانش شاره‌های آزاد شده از بخش فوقانی لیتوسفر فرورونده که از Fcیر و از LILE غنی‌اند، به گوهی گوشه‌ای افزوده می‌شوند [۱۸]. در شکل (۱۱، الف) نابهنجاری مثبت Sr و Eu بیانگر این مسئله است که پلازیوکلاز به عنوان یک کانی نگهدارنده‌ی عناصر یاد شده نتوانسته در فرایند ذوب بخشی چشممه‌ی تشكیل دهنده ماگمای سنگ‌های منطقه پایدار بماند و در نتیجه ذوب آن، مقدار زیادی از Sr و Eu را وارد ماگمای نهایی کرده است. همچنین نابهنجاری منفی Ba در این نمودار می‌تواند به خاستگاه فرورانش وابسته باشد [۱۹]. در این نمودار، عناصر ناسازگاری چون Th، Rb، Cs، K و Rb یک غنی‌شدگی را از خود نشان می‌دهند، ولی در سه نمونه از این گذازه‌ها عنصر یک نابهنجاری منفی و عنصر K نیز یک کاهش در مقایسه با دیگر نمونه‌ها از خود نشان می‌دهد.

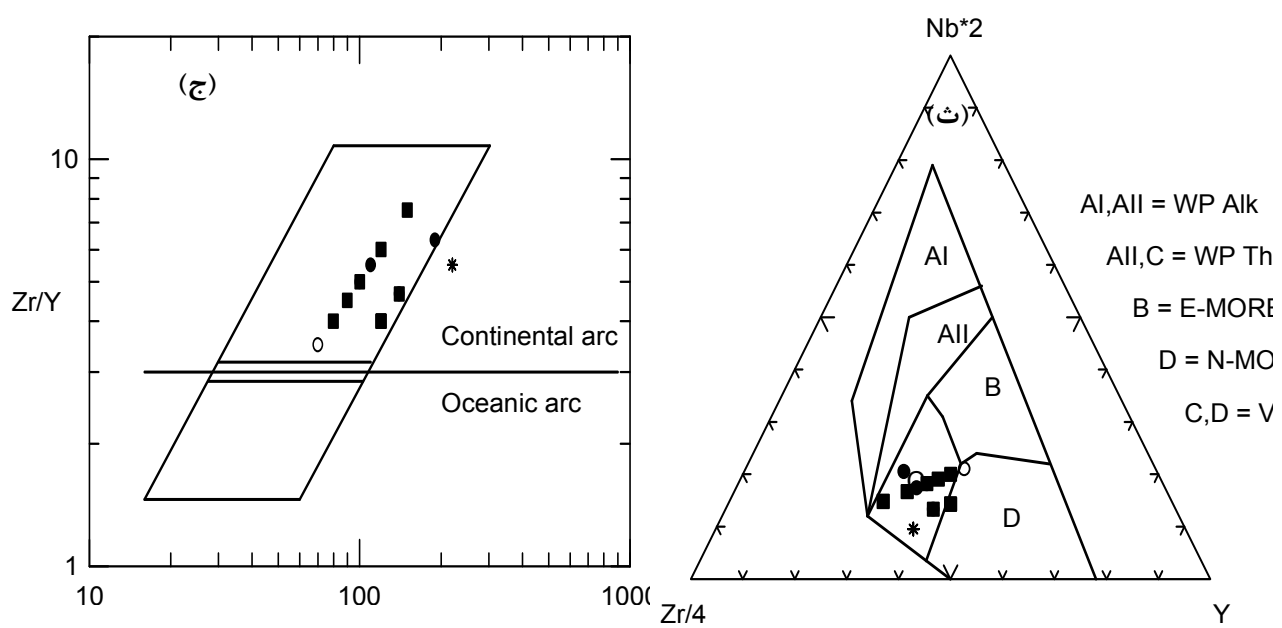
از طرف دیگر فراوانی عناصر نادر خاکی نمونه‌ها نسبت به کندریت بنهنجار [۲۰] شده است (شکل ۱۱، ب) در این نمودار الگوی یکنواخت غنی‌شدگی عناصر نادر خاکی سبك از La تا Sm در مقایسه با عناصر نادر خاکی سنگین (HREE) به چشم می‌خورد. غنی‌شدگی از عناصر LREE نسبت به عناصر HREE و مقدار کم TiO<sub>2</sub>, Nb, Zr وابستگی این سنگ‌ها را به سری‌های آهکی - قلیایی نشان می‌دهند [۲۱] و نیز می‌تواند نشانگر این باشد که سنگ مادر ماگما دارای گارنت و پیروکسن بوده و عناصر نادر خاکی سنگین را در خود نگه داشته و باعث تهی‌شدگی نمونه‌های مورد بررسی از این عناصر شده است [۲۱]. در این نمودار عنصر Eu نابهنجاری منفی ضعیفی را از خود نشان می‌دهد و این موضوع می‌تواند به دلیل دگرسانی پلازیوکلازها به سریسیت، کلسیت و کلریت در سنگ‌های منطقه باشد. همچنین با توجه به موازی بودن روند وابسته به نمونه‌ها می‌توان به هم ریشه بودن آنها پی برد [۲۲].

غنى شده (Enriched Mantle) دیده می‌شود. چنانکه در (شکل ۱۵) دیده می‌شود با فرض لرزولیتی بودن ترکیب گوشه‌های، می‌توان روند تغییرات ترکیب گدازه‌های مشتق شده از درجات مختلف ذوب بخشی گوشه‌های را در دو شاخه مختلف گوشه‌های غنى شده و گوشه‌های تهی شده تعقیب کرد. نمونه‌های مورد بررسی از لحاظ فراوانی عناصر La و Sm همگی مشابه با گدازه‌های مشتق شده از گوشه غنى شده را دارند و روی روند منطبق با حدود ۱۰ تا ۳۰ درصد ذوب بخشی لرزولیت گارنت‌دار قرار می‌گیرند. شواهد ژئوشیمیایی نشان می‌دهد که احتمالاً گدازه‌های منطقه از ذوب بخشی گوه گوشه‌های خود در اثر تماس با شاره‌های مشتق شده از پوسته‌ی اقیانوسی فرورونده از عناصر کمیاب غنى شده، ریشه گرفته‌اند.

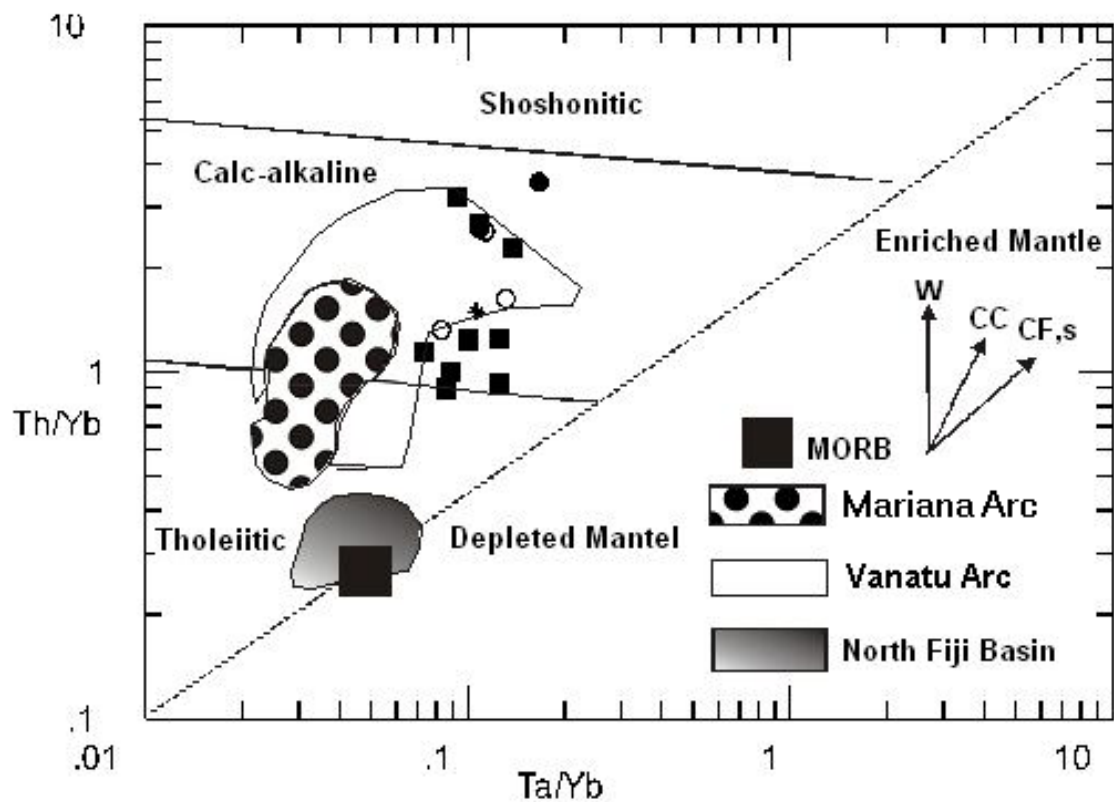
ذوب و یک گوشه‌ی اولیه شبیه به MORB مدل سازی شده است. چنانکه در شکل (۱۴) دیده می‌شود، روند داده‌های گدازه‌های منطقه، بین منحنی ذوب گارنت لرزولیت و اسپینل لرزولیت قرار گرفته و بیانگر میزان ۱۰ تا ۳۰ درصد ذوب یک خاستگاه گارنت یا اسپینل لرزولیت غنى شده برای تولید ماقمای تشکیل دهنده‌ی این گدازه‌هاست ( نقطه A). همچنین نمودار La/Sm نسبت به [La] ۳۰ نشان دهنده ذوب بخشی سنگ‌های آتشفشاری مورد بررسی است (شکل ۱۵). در این شکل خطوط ممتد و منقطع نشان دهنده روند تغییر ترکیب گدازه‌هایی است که با درجات مختلف ذوب بخشی از گوشه اسپینل لرزولیت و گارنت لرزولیت ریشه گرفته‌اند. اعداد روی خطوط درجه‌ی ذوب بخشی را نشان می‌دهند. روی خط ضخیم گستره‌ی گوشه‌ی اولیه تهی شده (Depleted Mantle) و



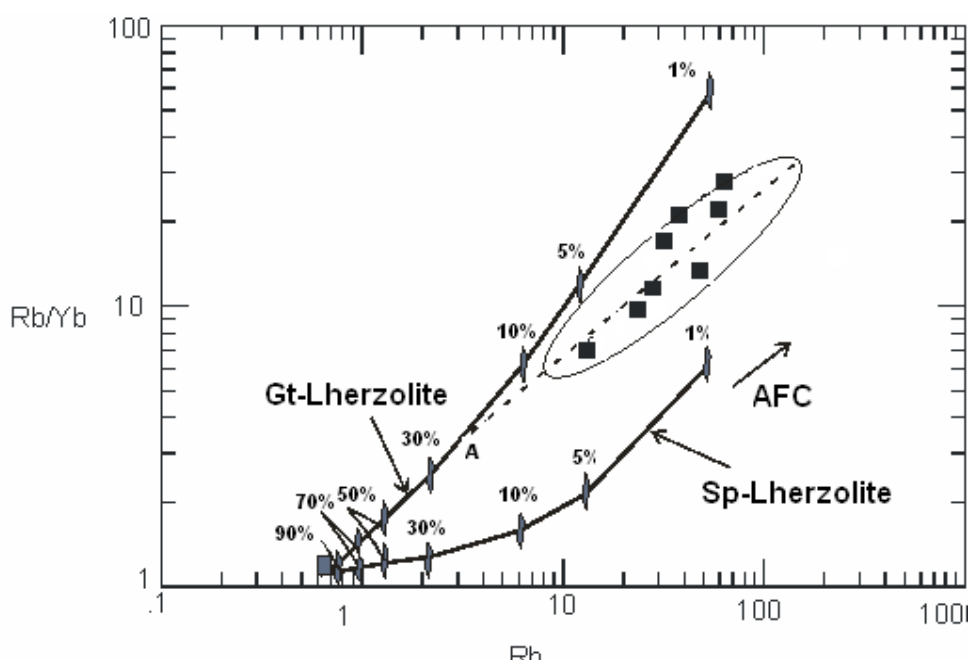
شکل ۱۲ تعیین محیط زمین‌ساختی سنگ‌های آتشفشاری منطقه با استفاده از نمودارهای، (الف) [۲۲]، (ب) [۲۳]، (ت) [۲۴]، (پ) [۲۵]. نشانه‌ها مطابق شکل ۷ انتخاب شده‌اند.



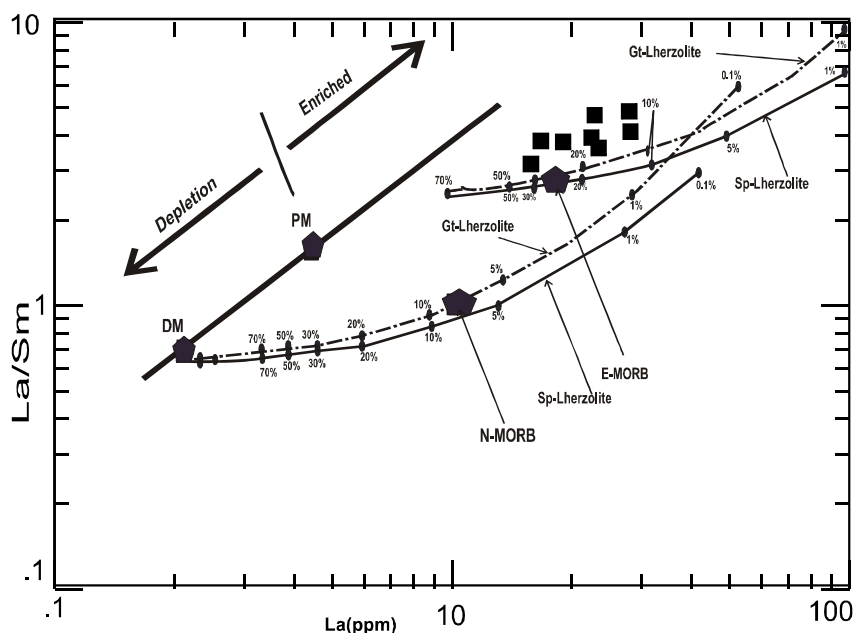
شکل ۱۲ تعیین محیط زمین‌ساختی سنگ‌های آتشفشنانی منطقه با استفاده از نمودارهای (ث) [۲۶] و (ج) [۲۷] ، نشانه ها مطابق شکل ۷ انتخاب شده‌اند.



شکل ۱۳ نمودار  $\text{Th}/\text{Yb}$ - $\text{Ta}/\text{Yb}$ ، تقسیم‌بندی جزئی‌تر در گستره‌ی بازالت‌های کمان آتشفشنانی به انواع تولئیتی، آهکی-قلیایی و شوشونیتی در این نمودار صورت گرفته است. W: غنی شدگی از یک فاز شاری؛ CC: آلایش پوسته‌ای؛ CF: جدایش بلوری؛ S: غنی شدگی که به خاستگاه وابسته. در این شکل مقایسه‌ای بین سنگ‌های مورد بررسی با کمان وناتو و حوضه شمال فیجی [۲۵] و کمان ماریانا [۳۶] صورت گرفته است [۲۸]، نشانه‌ها مطابق شکل ۷ انتخاب شده‌اند.



شکل ۱۴ نمودار دو تابی  $Rb/Yb$  نسبت به  $Rb$  نشان دهنده منحنی‌های ذوب [۳۱]. A: نقطه‌ی برخورد روند داده‌ها با منحنی ذوب گارنت لرزوگیت. خطوط ممتد نمایانگر روند‌های ذوب از گوشته اولیه بوده، لوزهای هر منحنی نیز نشان دهنده درجات مختلف ذوب بخشی است. نشانه‌ها مطابق شکل ۷ انتخاب شده‌اند..



شکل ۱۵ نمودار تغییرات  $La/Sm$  نسبت به  $La$  [۳۰] سنگ‌های آتشفشاری منطقه‌ی PM: ترکیب گوشته اولیه و DM: ترکیب گوشته تهی شده، نشانه‌ها مطابق شکل ۷ انتخاب شده‌اند.

گلومروپورفیری در بلورهای پلازیوکلاز، و کانی‌های کدر می-  
تواند نشانه نا آرامی مخزن مagmaی و خرد شدن واحدهای ته-  
نشین شده در مخزن بر اثر وجود magmaی جدید به درون مخزن  
باشد.

#### برداشت

- ۱- شواهد سنگنگاری، گدازه‌های منطقه‌ی مورد بررسی را در گستره‌ی بازالت، آندزیت بازالتی و آندزیت قرار می‌دهد. بافت اصلی این سنگ‌ها پورفیری بوده و در بعضی نقاط بافت گلومروپورفیری نیز در آنها قابل مشاهده است. تشکیل بافت

- [2] Jung D., Kursten M.O., Turkian M., "Post-Mesozoic volcanism in Iran and its relation to the subduction of the Afro-Arabian under the Eurasian plate. Impilger & Rosler (Eds), After between continental and oceanic rifting.PP. 182-190. International symposium on the Afra Region and Related Rift problems", Bad Bergzaben, (1975) Vol.2.
- [۳] افشاریان زاده ن، اعتمادی ع، نقشه زمین‌شناسی بررسی، مقیاس ۱/۱۰۰۰۰، سازمان زمین‌شناسی کشور، ۱۳۷۱.
- [4] Tsuchiyama A., "Dissolution kinetics of plagioclase in the melt of the system diopside-albite-anorthite and origin of dusty plagioclase in andesites", Contrib. Mineral. Petrol., 89 (1985) 1-16.
- [5] Shelly D., "Igneous and metamorphic rock under the microscope: Classification texture, microstructured and mineral preferred-orientation", Chapman and Hall publisher, London, (1993) 445P.
- [6] Hellerang B., Pederson R., "Magma ascent and crustal accretion at ultraslow-spreading ridges: constraints from plagioclase ultra phric basalts from the Arctic mixed ocean Ridge", Journal of petrology, 49 (2) (2008) 267-294.
- [7] Cox. K. G., Bell J. D., Pankhurst R. J., "The interpretation of igneous rocks", George, Allen and Unwin, London. (1979) 450 p.
- [8] Pearce J.A., "A users guide to basalt discrimination Diagrams. In: Wiman, D.A., (ed), Trace element geochemistry of volcanic rocks: Application for massive sulphide exploration", Geol. Assoc. Canada, short course notes, 12 (1996) 70-113
- [9] Kuno H., "Differentiation of basalt magmas. In: Hess, H.H., Poldervaart, A. (Eds.), Basalts", Vol. 2. John Wiley and Sons, (1968) pp 623-668.
- [10] Irvin T.N., Baragar W.R.A., "A guide to the classification of the common volcanic rocks", Can. Jour. Earth. Sci., No.8 (1971) p 235-458.
- [11] Peccerillo A., Taylor S.R., "Geochemistry of Eocene calc-alkaline volcanic rocks for the Kastamonu area, northern Turkey", Contrib. Mineral. Petrol. 58 (1976) 63-81.
- [12] Zanetti A., Mazzucchelli M., Rivalenti G., Vannucci R., "The Finro phlogopite-peridotite massif: an example of subduction-related metasomatism", Contribution to Mineralogy and Petrology, 134 (1999) 107-122.
- [13] Sun S.S., McDonough W.F., "Chemical and isotopic systematics of oceanic basalts; implications for mantle composition and

- شواهدی مانند بافت غربالی درشت در بلورهای پلازیوکلاز، انحلال و خوردگی در این بلورها وجود منطقه‌بندی نوسانی و بافت غربالی تکراری که چندین مرحله کاهش فشار را نشان می‌دهد، و نیز کرانه‌های سوخته در آمفیبولها و بیوتیت‌ها نشان می‌دهد که پدیده‌ی اختلاط ماقمایی همراه با افت سریع فشار در تمامی گدازه‌های مادر سنگ‌های منطقه یک نقش بسیار اساسی و مهم در تاریخ آنها داشته است. مجموعه کانی-های موجود و بافت‌ها نشان می‌دهد که این پدیده در مخازن ماقمایی نسبتاً کم عمق رخ داده و مخازن به وسیله‌ی ماقماهای جدید که اختلاف ترکیبی کمی داشته‌اند پی در پی مورد هجوم واقع می‌شده‌اند. زیرا منطقه‌بندی نوسانی با نوارهای نزدیک به هم و ترکیب نزدیک به یکدیگر از شواهد معمولی در بلورهای پلازیوکلاز در این سنگ‌هاست.

-۳- در نمودارهای عنکبوتی بهنجار شده با گوشه‌های اولیه، سنگ‌های منطقه از LILE غنی شده و از عناصر HFS تهی شده‌اند که این شاخص سنگ‌های آتشفشاری وابسته به قوس آتشفشاری است. از طرفی بی‌هنچاری منفی عناصر Ti, Nb و P و غنی شدگی از عناصر گروه LILE می‌تواند نشانگر شکل گیری سنگ‌ها در منطقه‌ی فرورانش باشد و دلیلی بر ریشه گرفتن ماقمای بوجود آورنده‌ی این سنگ‌ها از یک گوشه‌ی غنی شده، در بالای یک رون فرورانش باشد.

-۴- مقدار کم  $TiO_2$ , Zr, Nb و غنی شدگی از عناصر LREE نسبت به عناصر HREE و وابستگی این سنگ‌ها را به سری-های آهکی-قلیابی نشان می‌دهد، و نیز می‌تواند نشانگر این باشد که سنگ مادر ماقمای دارای گارنت و پیروکسن بوده و عناصر خاکی نادر سنگین را در خود نگه داشته و باعث تهی-شدگی نمونه‌های مورد بررسی از این عناصر شده است. همچنین با توجه به موازی بودن روند وابسته به نمونه‌ها، می-توان به هم ریشه بودن آنها پی برد.

-۵- بر اساس نمودارهای ژئوشیمیایی، سنگ‌های آتشفشاری منطقه‌ی ترکیبی مشابه با گدازه‌های مشتق شده از گوشه‌ی غنی شده را دارند و روی روند منطبق با حدود ۱۰ تا ۳۰ درصد ذوب بخشی لرزولیت گارنت‌دار قرار می‌گیرند.

#### مراجع

- [1] Berberian F., "Petrogenesis of Iranian plutons: a study of the Natanz and Bazeman intrusive complex", Ph.D Thesis. University of Cambridge, (1981) 300pp.

- [24] Pearce J.A., Gale G.H., "Identification of ore deposition environment from trace element Geochemistry of associated igneous host rocks", *Geol. Soc. Spec.*, 7 (1977) 14-24.
- [25] Wood D.A., "The application of a Th-Hf-Ta diagram to problem of tectonomagmatic classification and to establishing the nature of crustal contamination of basaltic lava of the British Tertiary Volcanic province", *Earth Planet. Sci. Lett.*, 50 (1980) 11-30.
- [26] Meschede M., "A method of discriminating between different types of mid-ocean ridge basalt and continental tholeiites with the Nb-Zr-Y Diagram", *Chem. Geol.*, 56 (1986) 207-218.
- [27] Pearce J.A., "Role of the sub-continental lithosphere in magma genesis at active continental margins", In Hawkesworth C.J. and Norry, M.J., shiva, Nantwich, (1983) 230-249.
- [28] Rolland Y., Pecher A., Picard C., "Middle Cretaceous back-arc formation and arc evolution along the Asian margin: the Shoyk Suture Zone in northern Ladakh (NW Himalaya)", *Tectonophysics*, 325 (2000) 145-173.
- [29] Whitney J.A., "Origin and evolution of silicic magmas, ore deposition associated with magmas", *Reviews in Economic Geology*, 4 (1989) 183-201.
- [30] Aldanmaz E., Pearce J.A., Thirlwall M.F., Mitchell J.G., "Petrogenetic evolution of late Cenozoic, post collision volcanism in western Anatolia, Turkey", *Journal of volcanology and geothermal Research*, 102 (2000) 67-97.
- [31] Ozdemir Y., Karaoglu O., Tolluoglu A.U., Gulec N., "Volcanostratigraphy and petrogenesis of the Nenrut stratovolcano (East Anatolian High Plateau): the most recent post-collisional volcanism in Turkey", *Chemical Geology*, 226 (2006) 189-221.
- [32] Pearce J.A., Peate D.W., Hawkesworth C.J., Colly H., Edwards C.M.H., Hiros K., "Geochemical Variations in Vanuatu Arc lavas: the role of subducted material and a variable mantle wedge composition", *J. Petrol.*, 10 (1997) 1331-1358.
- [33] Elliott, T., Plank, T., Zindler, A., white, W., Bourdon, B., "Element transport from slab to volcanic front at the Mariana arc". *J. Geophys. Res.* 102 (1997) 14991-15019.
- processes: in Saunders, A.D., and Norry, M.J., eds., *Magmatism in the ocean basins*", Geological Society Special Publications no. 42 (1989) p313-345.
- [14] Mohamed F.H., Moghazi A.M., Hassanen M.A., "Geochemistry, Petrogenesis and tectonic setting of late Neoproterozoic Dokhan-type volcanic rocks in the Fatira area, eastern Egypt", *International Journal of Earth Sciences*, 88 (2000) 764-777.
- [15] Wilson M., "Igneous Petrogenesis", Unwin Hyman, London. (1989) 461 pp.
- [16] Peng T., Wang Y., Zhao G., Fan W., Peng B., "Arc-like volcanic rocks from the Southern Lancangtong Zone", SW China: Geochronological and geochemical constraints on their petrogenesis and tectonic implication. *Lithos*, 102 (2007) 358-373.
- [17] He Y., Zhao C., Sun M., Wild S.A., "Geochemistry, isotope systematics and petrogenesis of the volcanic rocks in the Zongtiao Mountain: An alternative interpretation for the evolution of the southern margin of the North China", *Lithos*, 102 (2007) 158-178.
- [18] Borg L.E., Clyne M.A., Buller T.D., "The variable role of slab-derived fluids in the generation of a suite of primitive calc-alkaline lavas from the Southernmost Cascades, California", *Can. Min.* 35 (1997) 425-452.
- [19] Foley S.F., Wheller G.E., "Parallels in the origin of the geochemical signatures of island arc volcanics and continental potassic igneous rocks: the role of residual titanites", *Chemical Geology*, v. 85 (1990) p 1-18.
- [20] Nakamura N., "Determination of REE, Ba, Fe, Mg, Na and K in carbonaceous and ordinary chondrite", *Geochim. Cosmochim. Acta*, 38 (1974) 757-775.
- [21] Machado A., Lima E.F., Mortad., Oteiza O., Almeida D.P.M., Figueiredo A.M.G., Alexandre F.M., Urrutia J.L., "Geochemistry constrains of Mesozoic-Cenozoic calc-alkaline magmatism in the South Shetland arc", *Antarctica. J. South Amer. Earth Sci.* 18 (2005) 407-425.
- [22] Kharbish S., "Geochemistry and magmatic setting of Wadi El - Markh island arc gabbro-diorite central-Eastern Desert, Egypt", *Chemie der Erde* 70 (2010) 257-266.
- [23] Pearce J.A., Cann J.R., "Tectonic setting of basic volcanic rocks determined using trace element analyses", *Earth Planet. Sci. Lett.*, 19 (1973) 290-300.